

名古屋大学 正会員 山田健太郎

1. まえがき 鋼構造物に通過交通・風・波浪等に起因する不規則荷外乱が作用すると、その継手部には変動応力が生じる。その作用応力が大きいと、継手部には疲労き裂が発生し、それが進展して破断に至る。このような変動応力による疲労寿命の推定法として、Miner 則や等価応力振幅法がある。これらは、変動応力による疲労試験結果の特性をうまく説明し、有りかづ取り扱いが容易であることから、疲労設計法にも採用されている。ところが、図1に示すように、応力分布の大半が、いわゆるその継手の疲労限  $\sigma_f$  以下になる場合の実験例は少い。これは、疲労に余り関与しない応力分布を多数含み、疲労試験に時間がかかるため、実験的実験照が難しいからであろう。現実には、少數ではあるが高い応力が疲労き裂を発生・進展させるので、疲労の経過とともに、低い応力も疲労き裂の進展に寄与することが懸念される。したがって、何らかの方法でこの領域の変動荷重による疲労寿命の検討をする必要がある。

そこで、本報文では、疲労限以下のくり返し数が支配的な応力分布が作用する継手の  $N_p$  を、破壊力学的手法を用いて計算する方法を示す。これは、高い応力集中や初期欠陥が存在し、疲労の初期からき裂が進展するような溶接継手の解析法として有効であると思われる。

2. 解析の手法 破壊力学による  $N_p$  の計算では、き裂の特性を定義する応力拡大係数範囲  $\Delta K = F(a) \cdot \sigma_r \sqrt{\pi a}$  と、その材料のもつ疲労き裂進展速度式  $da/dN = C(\Delta K)^m$  を用いる。変動荷重が作用する場合には、 $\Delta K$  を  $da/dN$  式に代入してできる1階の常微分方程式を、き裂長  $a$  について解けば良い。溶接継手の  $N_p$  の計算の流れを示すと、つきのようにある。

① 破面観察や欠陥の調査により、その継手に存在すると予想される初期き裂長  $a_0$  を想定する。この場合、過去に蓄積された定応力振幅疲労試験データ ( $\sigma_f-N_p$  線図) をもとに、それと同じ寿命を与える  $a_0$ 、すなわち等価初期き裂長  $a_{0,eq}$  を求めて、変動荷重による  $N_p$  を計算する際の初期値としても可能であろう。(図2)

② 変動応力分布を与える。これには、実測された応力分布や、モデル化した応力分布を用いる。

③  $a_0$  または  $a_{0,eq}$  から最終き裂長  $a_f$  までの  $N_p$  を計算する。この場合、 $da/dN$  もとともに  $K$ 、 $da/dN$  の下限界値 ( $\Delta K_{th}$ , threshold stress intensity factor range) を考慮する必要がある。これは、 $\Delta K$  を小さくしてゆくと、 $da/dN$  が事实上零になる(き裂が停留する)点が存在するという実験に基づいている。したがって、 $\Delta K > \Delta K_{th}$  では、 $da/dN = C(\Delta K)^m$  を、 $\Delta K \leq \Delta K_{th}$  では  $da/dN = 0$  (き裂は進展しない) を与えて  $N_p$  を計算し、変動応力の分布の中では高い応力による“疲労被害”的度を評価する。この考え方を解析に導入すると、き裂進展に従って低い応力でもき裂進展に寄与する(疲労被害を与える)ことになり、現実と

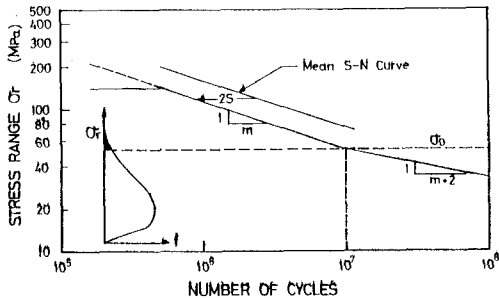


図1 変動荷重を受ける部材の疲労設計に用いるS-N線図の例

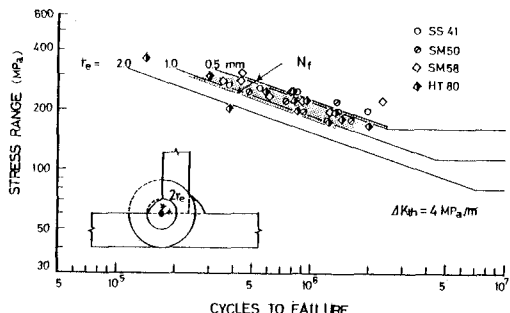


図2 溶接継手フローホール、スラクル巻込みなどの溶接欠陥から疲労き裂が発生すると考えた場合の  $\sigma_f-N_p$  線図と実験値との比較

一致する。なお、作用応力振幅  $\bar{\sigma}_f$  が一定であれば、 $\Delta K_{eq} = \Delta K_{eff} / (F(a) \cdot \sqrt{\pi a})$  を用いて、与えられた  $a_0$  に対しては  $a_{0,eq}$  を用いて、疲労限  $\sigma_D$  に相当する応力を計算することができる。(図2)

④ 以上は、あくまで解析的な手法であるが、実験データなどを参考にしながら、各パラメータの影響などを評価することも可能である。

上述の解析法に従って、溶接部の縫合部すみ肉溶接部に変動荷重が作用した場合の  $N_p$  を計算する。

3. 解析例 溶接部では、縫合部すみ肉溶接部に存在するスラグ巻込みやプローホール等の欠陥からき裂が進展することがある。このき裂は、いわゆる penny shape き裂として円形に進展してゆくと言われてあり、応力拡大係数範囲は、 $\Delta K = 2/\pi \cdot \bar{\sigma}_f \sqrt{\pi a}$  で定義されよう。このき裂形状は、き裂の一端がフランジの板厚を貫通するまで円形が保たれると考えて良いだろう。Hirt らによれば、溶接部の疲労破面観察から、平均半径  $R_e = 1 \text{ mm}$  で、 $0.5 \text{ mm}$  から  $2 \text{ mm}$  程度まではらつく等価初期き裂が得られている。これは、種々の形状をもつプローホールやスラグ巻込みなどの溶接欠陥を、外挿する円形き裂で近似し、それと  $\Delta K$  が等価な円形のき裂に換算して求めたものである。(図2) 同様な溶接部の疲労寿命と比較しても、 $R_e = 2 \text{ mm}$  の初期き裂が存在すると考えた場合の  $N_p$  が、疲労寿命の下限値をあえていようである。

そこで、図4では、 $a_{0,eq} = 2 \text{ mm}$  と仮定し、変動応力分布が図3のようく与えられた場合の  $N_p$  を計算してプロットした。この作用応力分布は、 $\beta$  分布を用いて作り、(1) 低い応力が主体の分布、(2) 比較的高い応力のくり返し数が多い分布、(3) 比較的高い応力が主体の分布、にある。図4の縦軸は、変動応力を式次で計算される等価応力分布に変換したもので、 $\bar{\sigma}_{r,eq}$  線図の傾き  $m=3$  の場合の Miner 則と同じ式である。

$$\bar{\sigma}_{r,eq} = \left( \frac{\sum n_i \bar{\sigma}_i^3}{N} \right)^{1/3}$$

$\Delta K_{eq} = 0$  と考えた場合には、直線被害則と同一となり、上述の解析結果は、傾き  $m=3$  の  $\bar{\sigma}_f - N_p$  線図の延長上にプロットされる。本解析例では、き裂が小さい内に小さな応力振幅が作用した場合(すなわち  $\Delta K < \Delta K_{eq}$  の状態)では、き裂が進展せず、 $N_p$  の計算値はいずれも直線被害則より長くなっている。その程度は、応力分布形状よどりなり、図4では、図3の分布形(1)、(2)、(3)の順に  $N_p$  が長くなっている。これは、 $\bar{\sigma}_{r,eq}$  を計算値をプロットしたためで、応力分布の  $\bar{\sigma}_f$  の最大値を同一にする、低い応力を多く含む分布(1)の分布長い寿命を示すことになる。

4.まとめ このように、破壊力学によって変動荷重による疲労き裂進展寿命をパラメトリックに計算し、Miner 則などとの比較に用いることができる。今後の検討課題として、(1) 多種多様な継手の  $a_0$  または  $a_{0,eq}$  の調査、(2)  $\Delta K_{eq}$  の値、(3) 荷重または応力分布形の調査、(4) Interaction effect の検討、(5) 各パラメータのはらつき等を含めた確率論的な考察、などが必要と思われる。

[文献省略]

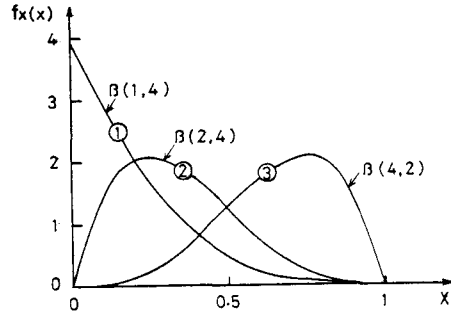


図3 標準ベータ分布を用いた応力ひん度分布のモデル

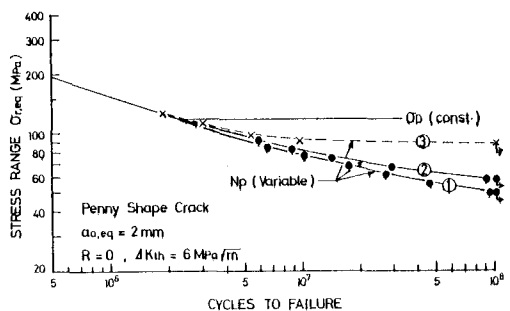


図4 変動応力分布をベータ関数で定義し、 $\bar{\sigma}_{r,eq}$  を代表させた場合の  $N_p$  の計算値